

九州大学 工学部 正員 金子 新  
 学生員 ○式 正治  
 学生員 横田洋文

## 1. まえがき

貯水池内の水温分布による強制流動的流動形態は熱傳導現象の挙動に大きな影響を及ぼすことはよく知られている。本文では南畠ダムにおける水温変化を明らかにするため、昭和47年の流入量、放流量、流入水温等の観測値をもとにして南畠ダムの水温分布及び放流水温を求め観測値と比較している。数値解析においては温度躍層を境に表水層と底水層に分け、流入、流出による熱の移流及び躍層位置の変化を考えモデル化しモデル及び数値解析の適合性を論じている。

## 2. 数値解析の方法

ダム築造による貯水池の幾何形状は一般には非常に複雑である。図-1に南畠ダムにおける水位～貯水量曲線より、南畠ダムでは水位～貯水量の関係は近似的に次式で表現できる（図-1参照）。

$$V = 25H^3 \quad (1)$$

(1)式で  $V$  が  $H$  の 3乗に比例することは、貯水池の幾何形状をほぼ図-2のようなモデルで表現できることを示している。このモデルにより水位～貯水量曲線を求めれば次式のようになる。

$$V = \tan\theta \cdot H^3 / 2i_b \quad (i_b: 貯水池平均継続勾配) \quad (2)$$

ここに、南畠ダムでは  $\tan\theta / 2i_b = 21.0$  となっている。

次にモデル化した貯水池の継続図を図-3に示す。図-3を参照して連続の式として、水面よりの降水、蒸発散及び漏水を無視し移流のみを考えると、

$$dV/dt = Q_i - Q_o \quad (3) \text{ となる。}$$

放流口位置に安定した二次躍層を形成している貯水池では、流入水は表水層に流入し、底水層を連続混合作り二次躍層上を流れることになるが

洪水後はその規模にもよるが底水層が多少上昇することが認められている。

この場合、熱保存則として貯水池表面からの日射による熱の収支を無視すると、表水層における熱の保存則は躍層位置の変化による熱の移動を考えると次式で与えられる。

$$\frac{d}{dt} \{ T_m (V_s - V_t) \} = Q_i T_i - Q_o T_o - \frac{\alpha}{\beta} (V_s T_o - V_t T_o) \quad (4)$$

底水層における熱の保存則は、貯水池底よりの熱損失を無視し

i) 流入水量が減少して躍層位置が上昇するとき ( $dV_s/dt > 0$ ) は

$$\frac{\alpha}{\beta} (V_s T_o) = \times T_m \frac{dV_s}{dt} \quad (5)$$

ii) 流入水量が増加して躍層位置が低下するとき ( $dV_s/dt < 0$ ) は

$$\frac{\alpha}{\beta} (V_s T_o) = T_o \frac{dV_s}{dt}, \quad \frac{dT_o}{dt} = 0 \quad (6) \text{ となる。}$$

$\alpha$  は  $0 \leq \alpha \leq 1$  の値をとり、躍層位置が上昇した場合の底層に取り残される熱量の割合を示し、底層水温の観測値との比較により決定される。南畠ダムの場合は  $\alpha = 0.07$  を用いた。

次に貯水池の二次躍層位置は  $Q_o$  と  $(T_m - T_o)$  より決定されると考え躍層位置を求めるために選択取水における Craya の式<sup>(1)</sup> を用いて躍層位置を決める。Crayaによれば図-4のような条件下で選択取水されるための条件

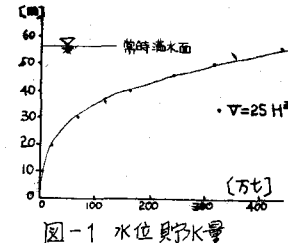


図-1 水位貯水量

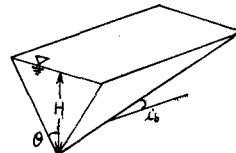


図-2 貯水池モデル

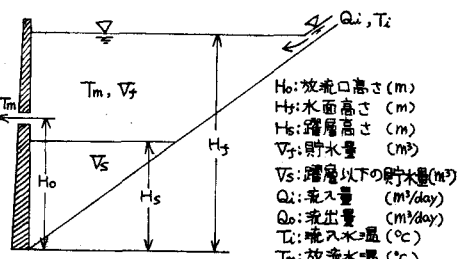


図-3

として内部フルード数  $F_i = Q_0 / R^2 \sqrt{(2\rho/\rho_f)gR} = 2.55$  を与えてい。これより躍升位置を求めれば  $H_0 - H_s = 0.6877 (Q_0 / \sqrt{(P_0 - P_m)g/R})^{3/5}$  (7) となる。

ここに  $P_m$ : 表水圧密度  $P_0$ : 底水圧密度

ところで密度  $\rho$  と水温  $T$  の関係は  $4^\circ\text{C} \sim 30^\circ\text{C}$  の範囲では近似的に次式で与えられる。

$$\rho = 1.0 - 0.0000072(T - 4)^2 \quad (8)$$

(3), (4)式より  $T_m$  を求めると

$$T_m = e^{-\int_0^t \frac{Q_0}{V_f - V_s} dt} \left[ \frac{V_0 - V_0}{V_f - V_s} T_0 + \frac{1}{V_f - V_s} \int_0^t (Q_0 T_i - \frac{d}{dt}(V_s T_0)) e^{\int_0^t \frac{Q_0}{V_f - V_s} dt} dt \right] \quad (9)$$

となる。ここに、初期条件として  $t=0$  で  $V_f = V_{f0}$ ,  $V_s = V_{s0}$ ,  $T_m = T_0$  としている。

### 3. 結果及び考察

(9)式を数値計算するに当り、昭和47年3月27日を計算開始日として観測値より初期条件を与える。その後の計算を進め同年の12月31日まで計算を行なった。モデル化して数値計算した値と観測値をそれを水位、放流水温及び水温分布について比較したのが図-5, 図-6, 図-7, 図-8, 図-9及び図-10である。

図-5より観測値と計算値はほぼ一致しており連続の式に表面からの蒸発散、降水及び底面からの漏水等を無視して流入、流出量だけで連続の式を考えても差しつかえないことがわかる。

図-6は放流水温の計算値と観測値の比較で、両者はほぼ一致していることがわかり、南畠ダムのような小規模な貯水池では貯水池表面からの日射による影響及び深さ方向の連続的な水温変化などを無視してもかなりの精度で放流水温を予測できることがわかった。図-7, 8, 9, 10の水温分布図より平均的に計算値は観測値と良く一致しているし、受熱期から放熱期にいたる貯水池の躍升の消滅する過程を良く表わしている。

また、図-9より放流口位置から7月25日に  $H_0 = 25\text{m}$  から  $H_0 = 36\text{m}$  に切り変えられたため、新たに放流口位置に躍升が形成されたことも良く説明している。

以上、流入量、放流量及び流入水温をもとに数値計算を行ない観測値と比較してきたが、このような簡単な解析でも比較的小規模な南畠ダムにおいてはかなりの精度で水温変化を予測できることがわかり、それ以上複雑な解析を行なってあまり意味がないものと考えられる。

### 4. あとがき

本研究における南畠ダムの観測値の資料は福岡市上水道局より提供されたものであり、ここに心から感謝の意を表します。

### 参考文献

#### (1) 水理公式集

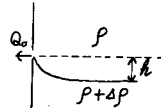


図-4

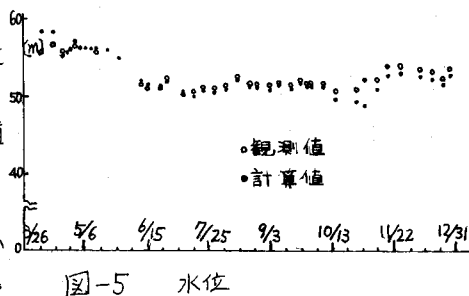


図-5 水位

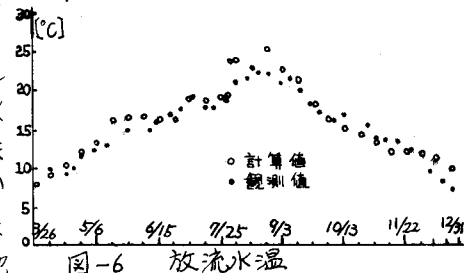


図-6 放流水温

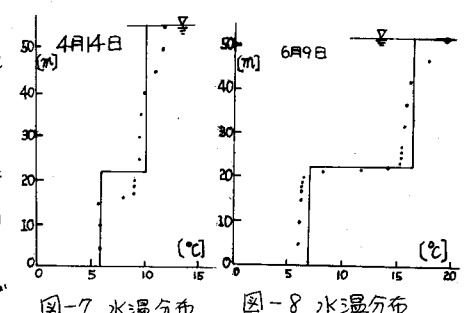


図-7 水温分布

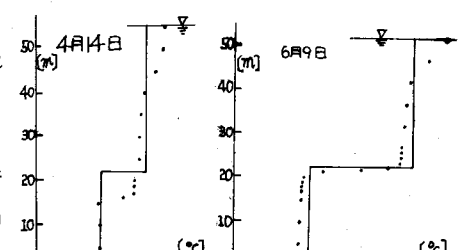


図-8 水温分布

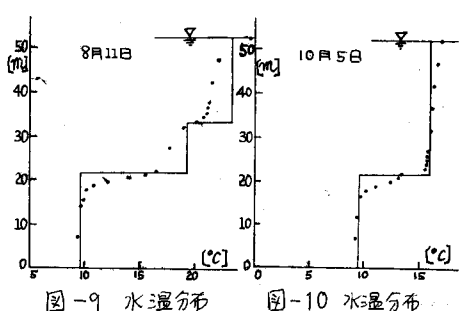


図-9 水温分布

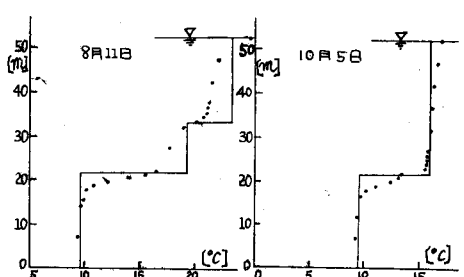


図-10 水温分布